

QCD for Collider Physics IV

NO. 71
DATE 2005.5.12

先回の続きを完成させます。 (168) を (167) に代入して

$$(169) H = \int \frac{d^3 k}{(2\pi)^3} \frac{2E}{4E} \sum_{\lambda, \lambda'} \left\{ a_{k, \lambda}^\dagger a_{k, \lambda} \delta_{\lambda \lambda'} - b_{k, \lambda}^\dagger b_{k, \lambda} \delta_{\lambda \lambda'} \right\}$$

$$= \int \frac{d^3 k}{(2\pi)^3} \frac{1}{2} \sum_\lambda \left\{ a_{k, \lambda}^\dagger a_{k, \lambda} - b_{k, \lambda}^\dagger b_{k, \lambda} \right\}$$

ここで、生成消滅演算子の covariant を規格化 (164) を通常の (粒子数) 規格化

$$(170) \begin{cases} a_{k, \lambda} = \sqrt{2E} \hat{a}_{k, \lambda}, & b_{k, \lambda} = \sqrt{2E} \hat{b}_{k, \lambda} \\ \{\hat{a}_{k, \lambda}, \hat{a}_{k', \lambda'}^\dagger\} = \{\hat{b}_{k, \lambda}, \hat{b}_{k', \lambda'}^\dagger\} = (2\pi)^3 \delta^3(k - k') \end{cases}$$

にもどす。

$$(171) H = \int \frac{d^3 k}{(2\pi)^3} E_{kk} \sum_\lambda \left\{ \hat{a}_{k, \lambda}^\dagger \hat{a}_{k, \lambda} - \hat{b}_{k, \lambda}^\dagger \hat{b}_{k, \lambda} \right\}$$

ここで 反交換関係 (164), (170) を使うと

$$(172) H = \int \frac{d^3 k}{(2\pi)^3} E_{kk} \sum_\lambda \left\{ \hat{a}_{k, \lambda}^\dagger \hat{a}_{k, \lambda} + \hat{b}_{k, \lambda}^\dagger \hat{b}_{k, \lambda} - (2\pi)^3 \delta^3(0) \right\}$$

-∞ の定数

となる。粒子と反粒子のエネルギーの和となる。 $(a_{k, \lambda}^\dagger |0\rangle + b_{k, \lambda}^\dagger |0\rangle)$ の固有値。

同様に (27) 式の $P^i = \int d^3 x \left[\frac{\partial \mathcal{L}}{\partial \partial^i A} \partial^i A \right]$ の $\partial^i = -\frac{\partial}{\partial x^i}$ に注意して。

$$(173) \bar{P} = \int d^3 x \not{A}^\dagger (-i\not{\nabla}) \not{A} = \int \frac{d^3 k}{(2\pi)^3} E_{kk} \sum_\lambda \left\{ \hat{a}_{k, \lambda}^\dagger \hat{a}_{k, \lambda} + \hat{b}_{k, \lambda}^\dagger \hat{b}_{k, \lambda} \right\}$$

を導くことができる。(172), (173) は 反交換関係、(164), (170) の帰結である。

Dirac 粒子が フェルミ統計に従わなければ 量子化できないことを表しています。

スビン-1/2 の Lorentz 変換.

ここで少しだけ、Lorentz 変換とその generator の関係を復習します。

Lorentz 変換

$$(174) \quad x^\mu \rightarrow x'^\mu = \Lambda^\mu_\nu x^\nu$$

は 実 $\theta_{ij} = -\omega_{ij}, \omega_{oi} = -\omega_{io}$

$$(175) \quad \begin{cases} \omega_{ij} = \epsilon_{ijk} \theta^k & \cdots \theta^1, \theta^2, \theta^3 \text{ は } 45^\circ \text{ で } 2-3, 3-1, 1-2 \text{ 面内の回転角。} \\ \omega_{oi} = \beta^i & \cdots \beta^1, \beta^2, \beta^3 \text{ は } 1, 2, 3 \text{ 軸方向の速度。} \end{cases}$$

で指定されますか、変換 Λ^μ_ν を (175) のパラメータで表現することができる。

$$(176) \quad \Lambda^\alpha_\beta = (e^{-i \frac{\omega_{\mu\nu}}{2} M^{\mu\nu}})_\beta^\alpha$$

$M^{\mu\nu} = -M^{\nu\mu}$ を generator (生成演算子) と定めます。微小な Lorentz

変換を2回行ない、順序を替えたものの差をとることで、交換関係。

$$(177) \quad [M^{\mu\nu}, M^{\rho\sigma}] = i \{ g^{\nu\rho} M^{\mu\sigma} + g^{\mu\sigma} M^{\nu\rho} - g^{\mu\rho} M^{\nu\sigma} - g^{\nu\sigma} M^{\mu\rho} \}$$

を導くことができます。面頭をどうですか。 $(\mu\nu) = (ij), (\rho\sigma) = (jk)$ 成分

をとると、 $g^{\nu\rho} = g^{jj} = -1$ の項だけが表面で残ります。

$$(178) \quad [M^{ij}, M^{jk}] = i g^{jj} M^{ik} = -i M^{ik} = i M^{ki}$$

が分かります。これが

$$(179) \quad M^{ij} = \epsilon^{ijk} J^k$$

が回転の generator (角運動量演算子) であることがわかります。

同様に

$$(182) M^{oi} = K^i$$

は i 軸方向の boost の generator です。座標表示で、

$$(183) L^{μν} = i(x^\mu \partial^\nu - x^\nu \partial^\mu)$$

で、例え $L^{ij} = (ij)$ 生み出され

$$(184) \begin{cases} L^{ij} = i(x^i \partial^j - x^j \partial^i) = -i(x^i \frac{\partial}{\partial x^j} - x^j \frac{\partial}{\partial x^i}) = x^i p^j - x^j p^i = J^k \\ J = \mathbf{x} \times \mathbf{P} = \mathbf{x} \times (-i\nabla) \end{cases} \quad \times \text{はベクトル積}.$$

確認できます。 $x^\mu = (x^0, x^1, x^2, x^3)^T$ を縦ベクトルとすと、 $M^μ_ν$ を
4×4 の行列で表示することができて、6つ generator は

$$(185) J^1 = M^{23} = -i \begin{pmatrix} 0 & 0 & 0 & 0 \\ 0 & 0 & 0 & 0 \\ 0 & 0 & 0 & 1 \\ 0 & 0 & -1 & 0 \end{pmatrix}, \quad J^2 = M^{31} = -i \begin{pmatrix} 0 & 0 & 0 & 0 \\ 0 & 0 & 0 & 1 \\ 0 & 0 & 0 & 0 \\ 0 & 1 & 0 & 0 \end{pmatrix}, \quad J^3 = M^{12} = -i \begin{pmatrix} 0 & 0 & 0 & 0 \\ 0 & 0 & 1 & 0 \\ 0 & -1 & 0 & 0 \\ 0 & 0 & 0 & 0 \end{pmatrix}$$

$$K^1 = M^{01} = i \begin{pmatrix} 0 & 0 & 0 & 0 \\ 1 & 0 & 0 & 0 \\ 0 & 0 & 0 & 0 \\ 0 & 0 & 0 & 0 \end{pmatrix}, \quad K^2 = M^{02} = i \begin{pmatrix} 0 & 0 & 1 & 0 \\ 0 & 0 & 0 & 0 \\ 0 & 0 & 0 & 0 \\ 0 & 0 & 0 & 0 \end{pmatrix}, \quad K^3 = M^{03} = i \begin{pmatrix} 0 & 0 & 0 & 1 \\ 0 & 0 & 0 & 0 \\ 0 & 0 & 0 & 0 \\ 1 & 0 & 0 & 0 \end{pmatrix}$$

となります。例えは

$$(186) e^{-i\phi J^3} = e^{-\phi \begin{pmatrix} 0 & 0 & 0 & 0 \\ 0 & 0 & 1 & 0 \\ 0 & -1 & 0 & 0 \\ 0 & 0 & 0 & 0 \end{pmatrix}} = \sum_{n=0}^{\infty} \frac{(-\phi)^n}{n!} \begin{pmatrix} 0 & 0 & 0 & 0 \\ 0 & 0 & 1 & 0 \\ 0 & -1 & 0 & 0 \\ 0 & 0 & 0 & 0 \end{pmatrix}^n = 1 + \sum_{m=0}^{\infty} \left\{ \frac{-\phi(-\phi^2)^m}{(2m)!} \begin{pmatrix} 0 & 0 & 0 & 0 \\ 0 & 0 & 1 & 0 \\ 0 & -1 & 0 & 0 \\ 0 & 0 & 0 & 0 \end{pmatrix} \right. \\ \left. + \frac{(-\phi^2)^m}{(2m)!} \begin{pmatrix} 0 & 0 & 0 & 0 \\ 0 & 1 & 0 & 0 \\ 0 & 0 & 1 & 0 \\ 0 & 0 & 0 & 0 \end{pmatrix} \right\} \\ = \begin{pmatrix} 1 & 0 & 0 & 0 \\ 0 & \cos\phi & -\sin\phi & 0 \\ 0 & \sin\phi & \cos\phi & 0 \\ 0 & 0 & 0 & 1 \end{pmatrix} \quad ; 3\text{軸の回りの回転}.$$

同様に、2軸の回りのθの回転は

$$(187) e^{-i\theta J^2} = e^{-\theta} \begin{pmatrix} 0 & 0 & 0 & 0 \\ 0 & 0 & 0 & -1 \\ 0 & 0 & 1 & 0 \\ 0 & 1 & 0 & 0 \end{pmatrix} = \begin{pmatrix} 1 & 0 & 0 & 0 \\ 0 & \cos\theta & 0 & \sin\theta \\ 0 & 0 & 1 & 0 \\ 0 & -\sin\theta & 0 & \cos\theta \end{pmatrix}$$

又、3軸向きのboostは、 $\gamma = \frac{1}{2} \ln \frac{1+\beta}{1-\beta} \not\equiv$ rapidity $\approx 1 \approx (\beta = \tanh \gamma)$

$$\begin{aligned} (188) e^{-i\gamma K^3} &= e^{\gamma} \begin{pmatrix} 0 & 0 & 0 & 1 \\ 0 & 0 & 0 & 0 \\ 0 & 0 & 0 & 0 \\ 1 & 0 & 0 & 0 \end{pmatrix} = \sum_{n=0}^{\infty} \frac{\gamma^n}{n!} \begin{pmatrix} 0 & 0 & 0 & 1 \\ 0 & 0 & 0 & 0 \\ 0 & 0 & 0 & 0 \\ 1 & 0 & 0 & 0 \end{pmatrix}^n \\ &= 1 + \sum_{m=1}^{\infty} \left\{ \frac{\gamma^{2m-1}}{(2m-1)!} \begin{pmatrix} 0 & 0 & 0 & 1 \\ 0 & 0 & 0 & 0 \\ 0 & 0 & 0 & 0 \\ 1 & 0 & 0 & 0 \end{pmatrix} + \frac{\gamma^{2m}}{(2m)!} \begin{pmatrix} 1 & 0 & 0 & 0 \\ 0 & 0 & 0 & 0 \\ 0 & 0 & 0 & 0 \\ 0 & 0 & 0 & 1 \end{pmatrix} \right\} \\ &= \begin{pmatrix} \cosh \gamma & 0 & 0 & \sinh \gamma \\ 0 & 1 & 0 & 0 \\ 0 & 0 & 1 & 0 \\ \sinh \gamma & 0 & 0 & \cosh \gamma \end{pmatrix} = \begin{pmatrix} \gamma & 0 & 0 & \gamma \beta \\ 0 & 1 & 0 & 0 \\ 0 & 0 & 1 & 0 \\ \gamma \beta & 0 & 0 & \gamma \end{pmatrix} \end{aligned}$$

\therefore 2次の展開式を使つて。

$$\begin{cases} e^{i\theta} = \sum_{n=0}^{\infty} \frac{(i\theta)^n}{n!} = \sum_{m=0}^{\infty} \left\{ \frac{(-\theta^2)^m}{(2m)!} + i\theta \frac{(-\theta^2)^m}{(2m+1)!} \right\} = \cos\theta + i\sin\theta \\ \cosh y = \frac{e^y + e^{-y}}{2} = \frac{1}{2} \sum_{n=0}^{\infty} \left\{ \frac{y^n}{n!} + \frac{(-y)^n}{n!} \right\} = \sum_{m=0}^{\infty} \frac{y^{2m}}{(2m)!} \\ \sinh y = \frac{e^y - e^{-y}}{2} = \frac{1}{2} \sum_{n=0}^{\infty} \left\{ \frac{y^n}{n!} - \frac{(-y)^n}{n!} \right\} = \sum_{m=0}^{\infty} \frac{y^{2m+1}}{(2m+1)!} \end{cases}$$

$$p^\mu = (m, 0, 0, 0)^T \text{ が 3 出発 } \approx$$

$$\begin{aligned} (190) \begin{pmatrix} E \\ p^1 \\ p^2 \\ p^3 \end{pmatrix} &= e^{-i\phi J^3} e^{-i\theta J^2} e^{-i\gamma K^3} \begin{pmatrix} m \\ 0 \\ 0 \\ 0 \end{pmatrix} = \begin{pmatrix} 1 & 0 & 0 & 0 \\ 0 & \cos\phi & -\sin\phi & 0 \\ 0 & \sin\phi & \cos\phi & 0 \\ 0 & 0 & 0 & 1 \end{pmatrix} \begin{pmatrix} 1 & 0 & 0 & 0 \\ 0 & \cos\theta & 0 & \sin\theta \\ 0 & 0 & 1 & 0 \\ 0 & -\sin\theta & 0 & \cos\theta \end{pmatrix} \begin{pmatrix} \gamma & 0 & 0 & \gamma \beta \\ 0 & 1 & 0 & 0 \\ 0 & 0 & 1 & 0 \\ \gamma \beta & 0 & 0 & \gamma \end{pmatrix} \begin{pmatrix} m \\ 0 \\ 0 \\ 0 \end{pmatrix} \\ &= \begin{pmatrix} E \\ p \sin\theta \cos\phi \\ p \sin\theta \sin\phi \\ p \cos\theta \end{pmatrix} ; \begin{cases} E = m\gamma = m \cosh \gamma \\ p = m\gamma\beta = m \sinh \gamma \end{cases} \end{aligned}$$

以上の 4×4 行列表示を座標表示、ベクトル表示と呼びます。

一般の generator は、スピノンの自由度を含み、 $L^{\mu\nu}$ を (183) 式とします。

$$(191) M^{\mu\nu} = L^{\mu\nu} + S^{\mu\nu}$$

と表されますか、スピノン $\frac{1}{2}$ の場合、

$$(192) S^{\mu\nu} = \Sigma^{\mu\nu} \equiv \frac{i}{4} [\gamma^\mu, \gamma^\nu]$$

となります。(スピノン 1 の場合、 $S^{\mu\nu}$ は $L^{\mu\nu}$ と同型になります。ベクトル表示と呼ぶ)。

(192) 式の $\Sigma^{\mu\nu}$ が交換関係 (179) を満たすことは、反交換関係 (114) 式

だけを使って証明できます。表示を (115) のカルル表示に替われば、

簡単で

$$\begin{aligned} (193) \quad \Sigma^{\mu\nu} &= \frac{i}{4} \left\{ \begin{pmatrix} 0 & \sigma_+^\mu \\ \sigma_-^\mu & 0 \end{pmatrix} \begin{pmatrix} 0 & \sigma_+^\nu \\ \sigma_-^\nu & 0 \end{pmatrix} - \begin{pmatrix} 0 & \sigma_+^\nu \\ \sigma_-^\nu & 0 \end{pmatrix} \begin{pmatrix} 0 & \sigma_+^\mu \\ \sigma_-^\mu & 0 \end{pmatrix} \right\} \\ &= \frac{i}{4} \begin{pmatrix} \sigma_+^\mu \sigma_-^\nu - \sigma_+^\nu \sigma_-^\mu & 0 \\ 0 & \sigma_+^\mu \sigma_+^\nu - \sigma_+^\nu \sigma_+^\mu \end{pmatrix} \end{aligned}$$

から、

$$\begin{aligned} (194) \quad \Sigma^{ij} &= \frac{i}{4} \begin{pmatrix} \sigma^i(-\sigma^j) - \sigma^j(-\sigma^i) & 0 \\ 0 & (-\sigma^i)\sigma^j - (-\sigma^j)\sigma^i \end{pmatrix} \\ &= \frac{i}{4} \begin{pmatrix} -[\sigma^i, \sigma^j] & 0 \\ 0 & -[\sigma^i, \sigma^j] \end{pmatrix} \\ &= \frac{i}{4} \begin{pmatrix} -2i\sigma^{ik} & 0 \\ 0 & -2i\sigma^{ik} \end{pmatrix} \\ &= \frac{\sigma^k}{2} \begin{pmatrix} 1 & 0 \\ 0 & 1 \end{pmatrix} = \begin{pmatrix} \sigma^{k/2} & 0 \\ 0 & \sigma^{k/2} \end{pmatrix} = \frac{1}{2} \begin{pmatrix} \sigma^k & 0 \\ 0 & \sigma^k \end{pmatrix} \end{aligned}$$

が求まり、boost は、

$L^{\mu\nu}$ の形の方が誤解になってしまった。

$$(195) \quad \Sigma^i = \frac{i}{4} \begin{pmatrix} \sigma^0(-\sigma^i) - \sigma^i \sigma^0 & 0 \\ 0 & (\sigma^0)\sigma^i - (-\sigma^i)\sigma^0 \end{pmatrix}$$

$$= \frac{i}{4} \begin{pmatrix} -\sigma^i - \sigma^i & 0 \\ 0 & \sigma^i + \sigma^i \end{pmatrix}$$

$$= -\frac{i}{2} \begin{pmatrix} \sigma^i & 0 \\ 0 & -\sigma^i \end{pmatrix}$$

(194), (195) は それぞれ 回転と boost のスピン-1/2 表示です。3軸の回りの回転は、
generator 中の

$$(196) \left\{ \begin{array}{l} e^{-i\phi J^3} = e^{-i\phi \Sigma^{12}} = e^{-i\phi \frac{1}{2} \begin{pmatrix} \sigma^3 & 0 \\ 0 & \sigma^3 \end{pmatrix}} = \begin{pmatrix} e^{-i\frac{\phi}{2}\sigma^3} & 0 \\ 0 & e^{-i\frac{\phi}{2}\sigma^3} \end{pmatrix} \\ e^{-i\frac{\phi}{2}\sigma^3} = \sum_{n=0}^{\infty} \frac{1}{n!} \left(-i\frac{\phi}{2}\right)^n (\sigma^3)^n \\ = \sum_{m=0}^{\infty} \left\{ \frac{1}{(2m)!} \left(-i\frac{\phi}{2}\right)^{2m} (\sigma^3)^{2m} + \frac{1}{(2m+1)!} \left(-i\frac{\phi}{2}\right)^{2m+1} (\sigma^3)^{2m+1} \right\} \\ = \sum_{m=0}^{\infty} \left\{ \frac{1}{(2m)!} \left(-i\frac{\phi}{2}\right)^{2m} \begin{pmatrix} 1 & 0 \\ 0 & 1 \end{pmatrix} + \frac{1}{(2m+1)!} \left(-i\frac{\phi}{2}\right)^{2m+1} \begin{pmatrix} 1 & 0 \\ 0 & -1 \end{pmatrix} \right\} \\ = \begin{pmatrix} \sum_{n=0}^{\infty} \frac{1}{n!} \left(-i\frac{\phi}{2}\right)^n & 0 \\ 0 & \sum_{n=0}^{\infty} \frac{1}{n!} \left(i\frac{\phi}{2}\right)^n \end{pmatrix} \\ = \begin{pmatrix} e^{-i\frac{\phi}{2}} & 0 \\ 0 & e^{i\frac{\phi}{2}} \end{pmatrix} \end{array} \right.$$

同様に 2 軸の回りの θ の回転は

$$(197) \left\{ \begin{array}{l} e^{-i\theta J^2} = e^{-i\theta \Sigma^{31}} = e^{-i\theta \frac{1}{2} \begin{pmatrix} \sigma^2 & 0 \\ 0 & \sigma^2 \end{pmatrix}} = \begin{pmatrix} e^{-i\frac{\theta}{2}\sigma^2} & 0 \\ 0 & e^{-i\frac{\theta}{2}\sigma^2} \end{pmatrix} \\ e^{-i\frac{\theta}{2}\sigma^2} = e^{-i\frac{\theta}{2} \begin{pmatrix} 0 & -1 \\ 1 & 0 \end{pmatrix}} = e^{\frac{\theta}{2} \begin{pmatrix} 0 & -1 \\ 1 & 0 \end{pmatrix}} = \sum_{n=0}^{\infty} \frac{1}{n!} \left(\frac{\theta}{2}\right)^n \begin{pmatrix} 0 & -1 \\ 1 & 0 \end{pmatrix}^n \\ = \sum_{m=0}^{\infty} \left\{ \frac{1}{(2m)!} \left(-\left(\frac{\theta}{2}\right)^2\right)^m \begin{pmatrix} 1 & 0 \\ 0 & 1 \end{pmatrix} + \left(\frac{\theta}{2}\right) \frac{1}{(2m+1)!} \left(-\left(\frac{\theta}{2}\right)^2\right)^m \begin{pmatrix} 0 & -1 \\ 1 & 0 \end{pmatrix} \right\} \\ = \begin{pmatrix} \cos \frac{\theta}{2} & -\sin \frac{\theta}{2} \\ \sin \frac{\theta}{2} & \cos \frac{\theta}{2} \end{pmatrix} \end{array} \right.$$

最後に 3 軸方向の rapidity $\eta \rightarrow \text{boost}$ は

$$(198) \left\{ \begin{array}{l} e^{-i\eta K^3} = e^{-i\eta \Sigma^0 3} = e^{-i\eta (-\frac{1}{2}) (\begin{smallmatrix} \sigma^3 & 0 \\ 0 & -\sigma^3 \end{smallmatrix})} = e^{\frac{\eta}{2} (\begin{smallmatrix} -\sigma^3 & 0 \\ 0 & \sigma^3 \end{smallmatrix})} = \left(\begin{array}{cc} e^{-\frac{\eta}{2} \sigma^3} & 0 \\ 0 & e^{\frac{\eta}{2} \sigma^3} \end{array} \right) \\ e^{-\frac{\eta}{2} \sigma^3} = \sum_{n=0}^{\infty} \frac{1}{n!} \left(-\frac{\eta}{2}\right)^n (\sigma^3)^n \\ = \sum_{m=0}^{\infty} \left\{ \frac{1}{(2m)!} \left(-\frac{\eta}{2}\right)^{2m} \left(\begin{array}{cc} 1 & 0 \\ 0 & 1 \end{array} \right) + \left(-\frac{\eta}{2}\right) \frac{1}{(2m+1)!} \left(-\frac{\eta}{2}\right)^{2m+1} \left(\begin{array}{cc} 1 & 0 \\ 0 & -1 \end{array} \right) \right\} \\ = \left(\begin{array}{cc} \sum_{n=0}^{\infty} \frac{1}{n!} \left(-\frac{\eta}{2}\right)^n & 0 \\ 0 & \sum_{n=0}^{\infty} \frac{1}{n!} \left(\frac{\eta}{2}\right)^n \end{array} \right) \\ = \left(\begin{array}{cc} e^{-\frac{\eta}{2}} & 0 \\ 0 & e^{\frac{\eta}{2}} \end{array} \right) \\ e^{\frac{\eta}{2} \sigma^3} = \left(\begin{array}{cc} e^{\frac{\eta}{2}} & 0 \\ 0 & e^{-\frac{\eta}{2}} \end{array} \right) \end{array} \right.$$

重心系 $\psi^\mu = (m, 0, 0, 0)$ の 3 軸方向に偏極 1 の 3 Dirac 粒子の
スピン -1 [(138) 式、 $E = m, |\mathbf{p}| = 0, \lambda = +$]

$$(199) \quad u(p, \lambda=+) = \begin{pmatrix} u(p, +)_- \\ u(p, +)_+ \end{pmatrix} = \begin{pmatrix} \sqrt{m} \chi_- \\ \sqrt{m} \chi_+ \end{pmatrix} = \sqrt{m} \begin{pmatrix} 1 \\ 0 \\ 1 \\ 0 \end{pmatrix}$$

をまず 3 軸方向に boost し (ハリティ -1 を変えず、 boost), 次に 2 軸の回りに
θ 回転、 最後に 3 軸の回りに中回転させてみます。

$$(200) \quad u(p, \lambda=+) = e^{-i\phi J^3} e^{-i\theta J^2} e^{-i\eta K^3} \sqrt{m} \begin{pmatrix} 1 \\ 0 \\ 1 \\ 0 \end{pmatrix}$$

$$(201) u(p,+) = \sqrt{m} \begin{pmatrix} e^{-i\frac{\phi}{2}} & 0 \\ 0 & e^{i\frac{\phi}{2}} \end{pmatrix} \begin{pmatrix} \cos\frac{\theta}{2} & -\sin\frac{\theta}{2} \\ \sin\frac{\theta}{2} & \cos\frac{\theta}{2} \end{pmatrix} \begin{pmatrix} e^{-\frac{\eta}{2}} & 0 \\ 0 & e^{\frac{\eta}{2}} \end{pmatrix} \begin{pmatrix} 1 \\ 0 \\ 0 \\ 1 \end{pmatrix}$$

$$= \sqrt{m} \begin{pmatrix} \left(\begin{pmatrix} e^{-i\frac{\phi}{2}} & 0 \\ 0 & e^{i\frac{\phi}{2}} \end{pmatrix} \begin{pmatrix} \cos\frac{\theta}{2} & -\sin\frac{\theta}{2} \\ \sin\frac{\theta}{2} & \cos\frac{\theta}{2} \end{pmatrix} \begin{pmatrix} e^{-\frac{\eta}{2}} & 0 \\ 0 & e^{\frac{\eta}{2}} \end{pmatrix} \right) \begin{pmatrix} 1 \\ 0 \\ 0 \\ 1 \end{pmatrix} \\ \left(\begin{pmatrix} e^{-i\frac{\phi}{2}} & 0 \\ 0 & e^{i\frac{\phi}{2}} \end{pmatrix} \begin{pmatrix} \cos\frac{\theta}{2} & -\sin\frac{\theta}{2} \\ \sin\frac{\theta}{2} & \cos\frac{\theta}{2} \end{pmatrix} \begin{pmatrix} e^{\frac{\eta}{2}} & 0 \\ 0 & e^{-\frac{\eta}{2}} \end{pmatrix} \right) \begin{pmatrix} 1 \\ 0 \\ 0 \\ 1 \end{pmatrix} \end{pmatrix}$$

$$= \sqrt{m} \begin{pmatrix} \left(\begin{pmatrix} e^{-i\frac{\phi}{2}} & 0 \\ 0 & e^{i\frac{\phi}{2}} \end{pmatrix} \begin{pmatrix} \cos\frac{\theta}{2} & -\sin\frac{\theta}{2} \\ \sin\frac{\theta}{2} & \cos\frac{\theta}{2} \end{pmatrix} \begin{pmatrix} e^{-\frac{\eta}{2}} \\ 0 \end{pmatrix} \right) \\ \left(\begin{pmatrix} e^{-i\frac{\phi}{2}} & 0 \\ 0 & e^{i\frac{\phi}{2}} \end{pmatrix} \begin{pmatrix} \cos\frac{\theta}{2} & -\sin\frac{\theta}{2} \\ \sin\frac{\theta}{2} & \cos\frac{\theta}{2} \end{pmatrix} \begin{pmatrix} e^{\frac{\eta}{2}} \\ 0 \end{pmatrix} \right) \end{pmatrix}$$

$$= \begin{pmatrix} \sqrt{m} e^{-\frac{\eta}{2}} \begin{pmatrix} e^{-i\frac{\phi}{2}} & 0 \\ 0 & e^{i\frac{\phi}{2}} \end{pmatrix} \begin{pmatrix} \cos\frac{\theta}{2} \\ \sin\frac{\theta}{2} \end{pmatrix} \\ \sqrt{m} e^{\frac{\eta}{2}} \begin{pmatrix} e^{-i\frac{\phi}{2}} & 0 \\ 0 & e^{i\frac{\phi}{2}} \end{pmatrix} \begin{pmatrix} \cos\frac{\theta}{2} \\ \sin\frac{\theta}{2} \end{pmatrix} \end{pmatrix}$$

$$= e^{-i\frac{\phi}{2}} \begin{pmatrix} \sqrt{m} e^{-\eta} \begin{pmatrix} \cos\frac{\theta}{2} \\ \sin\frac{\theta}{2} e^{i\phi} \end{pmatrix} \\ \sqrt{m} e^{\eta} \begin{pmatrix} \cos\frac{\theta}{2} \\ \sin\frac{\theta}{2} e^{i\phi} \end{pmatrix} \end{pmatrix}$$

HELAS

∴ ∴ ∴

$$(202) \begin{cases} m e^{-\eta} = m (\cosh\eta - \sinh\eta) = E - |P| \\ m e^{\eta} = m (\cosh\eta + \sinh\eta) = E + |P| \end{cases}$$

を使ふと、HELAS の $u(p,+)$ の表式 (138) が 位相 $e^{-i\frac{\phi}{2}}$ を除いて

再現されることが分かります。スピン-1/2 の Lorentz 変換の練習でした。//

Dirac 粒子の propagator を求めます。表式 (163) を用いて

$$(203) = (163) \quad \left\{ \begin{array}{l} \psi(x) = \int \frac{d^3k}{(2\pi)^3 2E} \sum_{\lambda} \left\{ a_{k,\lambda} u(k,\lambda) e^{-ikx} + b_{k,\lambda}^+ v(k,\lambda) e^{ikx} \right\} \\ \bar{\psi}(x) = \int \frac{d^3k}{(2\pi)^3 2E} \sum_{\lambda} \left\{ a_{k,\lambda}^+ \bar{u}(k,\lambda) e^{ikx} + b_{k,\lambda} \bar{v}(k,\lambda) e^{-ikx} \right\} \end{array} \right.$$

反対称関係。 (164) を用いると $i, j = 1, 2, 3, 4$ をスピン-1/2 の足とし

$$(204) \quad \left\{ \begin{array}{l} \langle 0 | \psi_i(x) \bar{\psi}_j(y) | 0 \rangle = \int \frac{d^3k}{(2\pi)^3 2E} \sum_{\lambda} u_i(k,\lambda) \bar{u}_j(k,\lambda) e^{-ik(x-y)} \\ \langle 0 | \bar{\psi}_j(y) \psi_i(x) | 0 \rangle = \int \frac{d^3k}{(2\pi)^3 2E} \sum_{\lambda} v_i(k,\lambda) \bar{v}_j(k,\lambda) e^{-ik(y-x)} \end{array} \right.$$

\approx free な Dirac 波動関数の和観 (158), (159) を

$$(205) \quad \left\{ \begin{array}{l} \sum_{\lambda} u_i(p,\lambda) \bar{u}_j(p,\lambda) = (m + \not{k})_{ij} \\ \sum_{\lambda} v_i(p,\lambda) \bar{v}_j(p,\lambda) = (-m + \not{k})_{ij} \end{array} \right.$$

$\propto \frac{1}{\not{p}} < \infty$. Feynman の propagator は

$$\begin{aligned} (206) \quad S_F(x-y)_{ij} &= \langle 0 | T \psi_i(x) \bar{\psi}_j(y) | 0 \rangle \\ &\equiv \Theta(x^0 - y^0) \langle 0 | \psi_i(x) \bar{\psi}_j(y) | 0 \rangle \\ &\quad - \Theta(y^0 - x^0) \langle 0 | \bar{\psi}_j(y) \psi_i(x) | 0 \rangle \\ &= \Theta(x^0 - y^0) \int \frac{d^3k}{(2\pi)^3 2E} (m + \not{k})_{ij} e^{-ik(x-y)} \\ &\quad + \Theta(y^0 - x^0) \int \frac{d^3k}{(2\pi)^3 2E} (m - \not{k})_{ij} e^{-ik(y-x)} \\ &= \int \frac{d^4k}{(2\pi)^4} \frac{(m + \not{k})_{ij}}{\not{k}^2 - m^2 + i\varepsilon} e^{-ik(x-y)} \end{aligned}$$

が導かれます。p.48 の (56)"式" と同様、 $\Theta(y^0 - x^0)$ 項で

$$(207) \quad (m + (-E\gamma^0) - \mathbf{k} \cdot \mathbf{\hat{y}}) d^3 k = (m - E\gamma^0 + \mathbf{k}' \cdot \mathbf{\hat{y}}) d^3 (-\mathbf{k}') \\ = (-m + E\gamma^0 - \mathbf{k}' \cdot \mathbf{\hat{y}}) d^3 \mathbf{k}' \\ = (-m + \mathbf{k}) d^3 k$$

に注意して下さる。(206) の表式は、ブラインマン propagator 61"

$$(207) \quad x \xleftarrow{} y = \Theta(x^0 - y^0) x \xleftarrow[\text{反粒子}]{\leftarrow} y \\ + \Theta(y^0 - x^0) y \xrightarrow[\text{反粒子}]{\leftarrow} x$$

の和であることを表わしています。

ここまで準備して Dirac 粒子を含む理論の散乱振幅を、運動論で扱うところです。その前に p.42 の (45) 式が間違っていたので修正します。

$$(208) = (45)_\text{正} \quad S = T e^{-i \int H_I t} = \sum_{n=0}^{\infty} \frac{1}{n!} T \prod_{k=1}^n \left[\int_{-\infty}^{\infty} [-iH_I(t_k)] dt_k \right] \\ = \sum_{n=0}^{\infty} \left[\int_{-\infty}^{\infty} [-iH_I(t_n)] dt_n \right] \left[\int_{-\infty}^{t_n} [-iH_I(t_{n-1})] dt_{n-1} \right] \\ \cdots \left[\int_{-\infty}^{t_2} [-iH_I(t_1)] dt_1 \right]$$

注意点は、時間積分の下限は全て $-\infty$ であること、 $t_n > t_{n-1} > \dots > t_2 > t_1$ の順序を決めていま、たゞ、 $\frac{1}{n!}$ の因子がなくなることです。[T 積は $n!$ 個の項の和です。]

QED

$$\begin{aligned}
 (209) \quad \mathcal{L}_{\text{QED}} &= \overline{\psi} (i\cancel{D} - m) \psi - \frac{1}{4} F_{\mu\nu} F^{\mu\nu} + \text{gauge fix term} \\
 &= \overline{\psi} (i\cancel{\partial}_\mu (\partial^\mu + ieQA^\mu) - m) \psi - \frac{1}{4} F_{\mu\nu} F^{\mu\nu} + \dots \\
 &= [\overline{\psi} (i\cancel{\partial} - m) \psi - \frac{1}{4} F_{\mu\nu} F^{\mu\nu} + \dots] - eQA_\mu \overline{\psi} \gamma^\mu \psi \\
 &= \mathcal{L}_0 + \mathcal{L}_I
 \end{aligned}$$

ここで \mathcal{D}^μ は 共変微分

$$(210) \quad \mathcal{D}^\mu = \partial^\mu + ieQA^\mu$$

私の convention は $e = \sqrt{4\pi\alpha'}$ が陽子の電荷(正), Q が e を単位とした
粒子の電荷です。 $Q = -1$ (e, μ, τ), $Q = \frac{2}{3}$ (u, c, t), $Q = -\frac{1}{3}$ (d, s, b)。

QED のゲージ変換 (x に依存する位相の変換)

$$(211) \quad \psi(x) \rightarrow \psi'(x) = e^{ieQ\theta(x)} \psi(x)$$

で (209) が不変であるのに注目。

$$\begin{aligned}
 (212) \quad \mathcal{D}^\mu \rightarrow \mathcal{D}'^\mu &= e^{ieQ\theta(x)} \mathcal{D}^\mu e^{-ieQ\theta(x)} \\
 &= e^{ieQ\theta(x)} (\partial^\mu + ieQA^\mu) e^{-ieQ\theta(x)} \\
 &= \partial^\mu - ieQ \partial^\mu \theta(x) + ieQA^\mu \\
 &= \partial^\mu + ieQ (A^\mu - \partial^\mu \theta(x)) \\
 &= \partial^\mu + ieQ A'^\mu
 \end{aligned}$$

が重要です。

ゲージボソン場は

$$(213) \quad A_\mu(x) \rightarrow A'_\mu(x) = A_\mu(x) - \star \partial_\mu \theta(x)$$

に従って変換しなければならぬ。 $F_{\mu\nu}$ は

$$\begin{aligned} (214) \quad F_{\mu\nu} &= \partial_\mu A_\nu - \partial_\nu A_\mu \rightarrow F'_{\mu\nu} = \partial_\mu A'_\nu - \partial_\nu A'_\mu \\ &= \partial_\mu (A_\nu - i \partial_\nu \theta) - \partial_\nu (A_\mu - i \partial_\mu \theta) \\ &= \partial_\mu A_\nu - \partial_\nu A_\mu - i (\partial_\mu \partial_\nu - \partial_\nu \partial_\mu) \theta \\ &= \partial_\mu A_\nu - \partial_\nu A_\mu = F_{\mu\nu} \end{aligned}$$

で不变。従って \mathcal{L}_{QED} (209) [の ... を除く部分] はケージ変換

(211) + (213) で不变。特に光の質量項

$$(215) \quad \mathcal{L}_{\text{photon mass}} = -\frac{m^2}{2} A^\mu A_\mu$$

は (213) のもとで不变でなければ禁止される。

量子化するためには、 $A^\mu(x)$ の 4つの自由度の内 2つの横波成分だけを量子化しなければならぬので工夫 (ゲージ固定) が必要ですか。ここで ψ は電子の

Feynman propagator (18)

$$\begin{aligned} (215) \quad D_F^{\mu\nu}(x-y) &= \langle 0 | T A^\mu(x) A^\nu(y) | 0 \rangle \\ &= \int d^4 k \frac{i}{k^2 + i\varepsilon} \sum_\lambda \varepsilon^\mu(k, \lambda) \varepsilon^\nu(k, \lambda)^* e^{-i(x-y)} \\ &= \int d^4 k \frac{i}{k^2 + i\varepsilon} (-g^{\mu\nu} + \dots) e^{-i(x-y)} \uparrow \\ &\quad k^\mu \times k^\nu \end{aligned}$$

を使つて tree level の散乱振幅を計算する。最初は

$$(216) \quad e^-(k_1, \lambda_1) + e^+(k_2, \lambda_2) \rightarrow \mu^-(k_3, \lambda_3) + \mu^+(k_4, \lambda_4)$$

を計算 1つめよ3. $|i\rangle \rightarrow |f\rangle$

$$(217) \quad \begin{cases} |i\rangle = a_{k_1, \lambda_1}^\dagger b_{k_2, \lambda_2}^\dagger |0\rangle = a_{e, k_1, \lambda_1}^\dagger b_{e, k_2, \lambda_2}^\dagger |0\rangle \\ |f\rangle = a_{k_3, \lambda_3}^\dagger b_{k_4, \lambda_4}^\dagger |0\rangle = a_{\mu, k_3, \lambda_3}^\dagger b_{\mu, k_4, \lambda_4}^\dagger |0\rangle \end{cases}$$

$$(218) \quad \begin{cases} L_{I,e} = -e Q_e \bar{\psi}_e \not{\partial}^\mu \psi_e A_\mu = -e Q_e A_\alpha(x) \bar{\psi}_e(x) \not{\partial}^\alpha \psi_e(x) \\ L_{I,\mu} = -e Q_\mu \bar{\psi}_\mu \not{\partial}^\mu \psi_\mu A_\mu = -e Q_\mu A_\beta(x) \bar{\psi}_\mu(x) \not{\partial}^\beta \psi_\mu(x) \end{cases}$$

2次振幅は

$$\begin{aligned} (219) \quad i T_{fi} &= \langle 0 | b_{\mu, k_3, \lambda_3}^\dagger a_{\mu, k_4, \lambda_4}^\dagger T \left[\int d^4x L_{I,e}(x) \right] \left[\int d^4y L_{I,\mu}(y) \right] a_{e, k_1, \lambda_1}^\dagger b_{e, k_2, \lambda_2}^\dagger |0\rangle \\ &= \langle 0 | b_{\mu, k_3, \lambda_3}^\dagger a_{\mu, k_4, \lambda_4}^\dagger T \underbrace{\left[(-ieQ_e) \overbrace{A_\alpha(x) \bar{\psi}_e(x)}^{\uparrow} \not{\partial}^\alpha \psi_e(x) \right]}_{\uparrow \uparrow} \underbrace{\left[(-ieQ_\mu) \overbrace{A_\beta(y) \bar{\psi}_\mu(y)}^{\uparrow} \not{\partial}^\beta \psi_\mu(y) \right]}_{\uparrow \uparrow} |0\rangle \\ &= (-ieQ_e)(-ieQ_\mu) \int d^4x \int d^4y \bar{v}(k_3, \lambda_3) \not{\partial}^\mu v(k_4, \lambda_4) e^{i(x(k_3+k_4))} \\ &\quad \langle 0 | T A_\alpha(x) A_\beta(y) |0\rangle \bar{v}(k_2, \lambda_2) \not{\partial}^\beta v(k_1, \lambda_1) e^{-iy(k_1+k_2)} \end{aligned}$$

$$\begin{aligned} &= (-ieQ_e)(-ieQ_\mu) \int d^4x \int d^4y \bar{v}(k_3, \lambda_3) \not{\partial}^\mu v(k_4, \lambda_4) e^{i(x(k_3+k_4))} \\ &\quad \int \frac{d^4k}{(2\pi)^4} \frac{i e^{-ik(x-y)}}{k^2 + i\varepsilon} (-g_{\alpha\beta} + \dots) \bar{v}(k_2, \lambda_2) \not{\partial}^\beta v(k_1, \lambda_1) e^{-iy(k_1+k_2)} \end{aligned}$$

$$p.49 \text{ の } (69) \text{ 式と同様に} \int d^4x \int d^4y \text{ を実行して} (2\pi)^4 \delta^4(k-k_3-k_4) (2\pi)^4 \delta^4(k-k_1-k_2)$$

を求める。 $\int d^4k$ を実行すると

$$\begin{aligned} (220) \quad i T_{fi} &= (-ieQ_e)(-ieQ_\mu) \bar{U}(k_3, \lambda_3) \gamma^\alpha U(k_4, \lambda_4) \\ &\times \frac{i}{k^2 + i\varepsilon} (-g_{\alpha\beta} + \dots) \bar{U}(k_2, \lambda_2) \gamma^\beta U(k_1, \lambda_1) (2\pi)^4 \delta^4(k_1+k_2-k_3-k_4) \\ &\equiv i M_{fi} (2\pi)^4 \delta^4(k_1+k_2-k_3-k_4) \end{aligned}$$

となり、全運動量保存を因子化した振幅

$$\begin{aligned} (221) \quad M_{fi} &= \frac{1}{i} \bar{U}(k_3, \lambda_3) (-ieQ_\mu \gamma^\alpha) U(k_4, \lambda_4) \\ &\times \frac{i}{k^2 + i\varepsilon} (-g_{\alpha\beta} + \dots) \bar{U}(k_2, \lambda_2) (-ieQ_e \gamma^\beta) U(k_1, \lambda_1) \end{aligned}$$

上式は Feynman 図

$$(222) \quad i M_{fi} = \begin{array}{c} \text{Feynman Diagram} \\ \text{with labels:} \\ \text{Top vertex: } \bar{U}(k_3, \lambda_3) \text{ (outgoing)} \\ \text{Bottom vertex: } U(k_4, \lambda_4) \text{ (outgoing)} \\ \text{Left vertex: } \bar{U}(k_2, \lambda_2) \text{ (incoming)} \\ \text{Right vertex: } U(k_1, \lambda_1) \text{ (incoming)} \\ \text{Internal lines: } k_1, k_2, k_3, k_4 \\ \text{External lines: } k_1+k_2=k_3+k_4 \\ \text{Feynman rules:} \\ \text{1. Momentum flow: } k_1 \uparrow, k_2 \uparrow, k_3 \uparrow, k_4 \uparrow \\ \text{2. Coupling constants: } (-ieQ_\mu) \gamma^\alpha, (-ieQ_e) \gamma^\beta \\ \text{3. Propagator: } \frac{i}{k^2 + i\varepsilon} (-g_{\alpha\beta} + \dots) \end{array}$$

(因子をまとめて)

$$(223) \quad M = -e^2 Q_e Q_\mu \bar{U}(k_3, \lambda_3) \gamma^\alpha U(k_4, \lambda_4) \frac{-g_{\alpha\beta} + \dots}{k^2 + i\varepsilon} \bar{U}(k_2, \lambda_2) \gamma^\beta U(k_1, \lambda_1)$$

$$k = k_1 + k_2 = k_3 + k_4$$

光子 propagator のスピン和項 $(-\gamma_{\mu\rho} + \dots)$ の \cdots は k_α 及 k_ρ を持つ。

その寄与は消えろ。

$$(224) k_\alpha \bar{u}(k_3, \lambda_3) \gamma^\alpha v(k_4, \lambda_4) = \bar{u}(k_3, \lambda_3)(k_3 + k_4) v(k_4, \lambda_4)$$

$$= \bar{u}(k_3, \lambda_3)[(k_3 - m_\mu) + (k_4 + m_\mu)] v(k_4, \lambda_4)$$

$$= 0$$

$$(225) k_\beta \bar{v}(k_2, \lambda_2) \gamma^\beta u(k_1, \lambda_1) = \bar{v}(k_2, \lambda_2)(k_1 + k_2) u(k_1, \lambda_1)$$

$$= \bar{v}(k_2, \lambda_2)[(k_1 + m_e) + (k_2 - m_e)] u(k_1, \lambda_1)$$

$$= 0$$

\therefore 2. Dirac 方程式 (131)

$$(226) \left. \begin{array}{l} (\not{p} - m) u(p, \lambda) = \bar{u}(p, \lambda) (\not{p} - m) = 0 \\ (\not{p} + m) v(p, \lambda) = \bar{v}(p, \lambda) (\not{p} + m) = 0 \end{array} \right\}$$

を用いた。最終的に

$$(227) M = \frac{e^2 Q_e Q_\mu}{s} \bar{u}(k_3, \lambda_3) \gamma^\alpha v(k_4, \lambda_4) \cdot \bar{v}(k_2, \lambda_2) \gamma_\alpha u(k_1, \lambda_1) ; s = (k_1 + k_2)^2 = (k_3 + k_4)^2$$

を得る。 \therefore

$$(228) m_e = 0, m_\mu = m$$

2. $e^+ e^-$ の重心系。

$$(229) \quad k_1^\mu = \frac{\sqrt{5}}{2} (1, 0, 0, 1) \quad k_3^\mu = \frac{\sqrt{5}}{2} (1, \beta \sin \theta, 0, \beta \cos \theta)$$

$$k_2^\mu = \frac{\sqrt{5}}{2} (1, 0, 0, -1) \quad k_4^\mu = \frac{\sqrt{5}}{2} (1, -\beta \sin \theta, 0, -\beta \cos \theta)$$

$\beta = \sqrt{1-4m^2/s}$, τ の振幅 (227) を書きなさいます。 helicity に依存するので

$$(230) \quad M_{\lambda_1 \lambda_2}^{\lambda_3 \lambda_4} = \frac{e^2 Q_e Q_\mu}{s} g_{\alpha \beta} J_{\lambda_3 \lambda_4}^\alpha J_{\lambda_1 \lambda_2}^\beta$$

と置いて、ケルント $J_{\lambda_3 \lambda_4}^\alpha$, $J_{\lambda_1 \lambda_2}^\beta$ を求めます。 $k_1^2 = k_2^2 = m_e^2 = 0$ なので

$$\begin{aligned} (231) \quad J_{\lambda_1 \lambda_2}^\beta &= \bar{U}(k_2, \lambda_2) \begin{pmatrix} 0 & \sigma_+^\beta \\ \sigma_-^\beta & 0 \end{pmatrix} U(k_1, \lambda_1) \\ &= (U(k_2, \lambda_2)_+^\dagger, U(k_2, \lambda_2)_-^\dagger) \begin{pmatrix} 0 & \sigma_+^\beta \\ \sigma_-^\beta & 0 \end{pmatrix} \begin{pmatrix} U(k_1, \lambda_1)_- \\ U(k_1, \lambda_1)_+ \end{pmatrix} \\ &= U(k_2, \lambda_2)_+^\dagger \sigma_+^\beta U(k_1, \lambda_1)_+ + U(k_2, \lambda_2)_-^\dagger \sigma_-^\beta U(k_1, \lambda_1)_- \end{aligned}$$

$\therefore \tau^-$ (138) より (151) を計算しておきます。

$$(232) \quad \left\{ \begin{array}{l} U(p, \lambda)_{\pm} = \sqrt{E \pm \lambda |p|} \chi_\lambda(\vec{p}) \\ V(p, \lambda)_{\pm} = \pm \lambda \sqrt{E \mp \lambda |p|} \chi_{-\lambda}(\vec{p}) \end{array} \right. \xrightarrow{m \rightarrow 0} \begin{array}{l} \delta_{\lambda, \pm} \sqrt{2E} \chi_\pm(\vec{p}) \\ -\delta_{\lambda, \mp} \sqrt{2E} \chi_\pm(\vec{p}) \end{array}$$

$$\begin{aligned} (233) \quad J_{+-}^\beta &= J_{\lambda_1 \lambda_2}^\beta (\lambda_1 = +, \lambda_2 = -) = U(k_2, -)_+^\dagger \sigma_+^\beta U(k_1, +)_+ \\ &= -2E \chi_+^\dagger(\vec{k}_2) \sigma_+^\beta \chi_+(\vec{k}_1) \end{aligned}$$

$$\begin{aligned} J_{-+}^\beta &= J_{\lambda_1 \lambda_2}^\beta (\lambda_1 = -, \lambda_2 = +) = U(k_2, +)_-^\dagger \sigma_-^\beta U(k_1, -)_- \\ &= -2E \chi_-^\dagger(\vec{k}_2) \sigma_-^\beta \chi_-(\vec{k}_1) \end{aligned}$$

$\therefore \tau^-$, (142), (145) の $\vec{k}_1 : (\theta, \phi) = (0, 0)$; $\vec{k}_2 : (\theta, \phi) = (\pi, 0)$ とします

$$(234) \quad \chi_+(\vec{K}_1) = \begin{pmatrix} 1 \\ 0 \end{pmatrix} \quad \chi_+(\vec{K}_2) = \begin{pmatrix} 0 \\ 1 \end{pmatrix}$$

$$\chi_-(\vec{K}) = \begin{pmatrix} 0 \\ 1 \end{pmatrix} \quad \chi_-(\vec{K}_2) = \begin{pmatrix} -1 \\ 0 \end{pmatrix}$$

(233) に A' 入すと

$$(235) \quad J_{+-}^\beta = -2E(0, 1)(1, \vec{\sigma})(1, \vec{\sigma})^T = -\sqrt{s}(0, 1, i, 0)$$

$$J_{-+}^\beta = -2E(-1, 0)(1, -\vec{\sigma})(0, 1)^T = \sqrt{s}(0, -1, i, 0) \\ = -\sqrt{s}(0, 1, -i, 0)$$

$$(236) \quad J_{\lambda_3, \lambda_4}^\beta = -\sqrt{s}(0, 1, \lambda i, 0)$$

-方のカレントは $m \neq 0 \in \text{loop 12}$

$$(237) \quad J_{\lambda_3, \lambda_4}^\alpha = \bar{u}(k_3, \lambda_3) \begin{pmatrix} 0 & \sigma_+^\alpha \\ \sigma_-^\alpha & 0 \end{pmatrix} u(k_4, \lambda_4) \\ = u(k_3, \lambda_3)_+^\dagger \sigma_+^\alpha u(k_4, \lambda_4)_+ + u(k_3, \lambda_3)_-^\dagger \sigma_-^\alpha u(k_4, \lambda_4)_- \\ = \lambda_4 E \left\{ \sqrt{1+\lambda_3 \beta} \sqrt{1-\lambda_4 \beta} \chi_{\lambda_3}^+(k_3) \sigma_+^\alpha \chi_{\lambda_4}^-(k_4) \right. \\ \left. - \sqrt{1-\lambda_3 \beta} \sqrt{1+\lambda_4 \beta} \chi_{\lambda_3}^+(k_3) \sigma_-^\alpha \chi_{\lambda_4}^-(k_4) \right\}$$

$$(238) \quad J_{\sigma, \sigma}^\alpha = \sigma E \sqrt{1-\beta^2} \left\{ \chi_\sigma^+(k_3) \sigma_+^\alpha \chi_\sigma^-(k_4) - \chi_\sigma^+(k_3) \sigma_-^\alpha \chi_\sigma^-(k_4) \right\} \\ = \sigma E \sqrt{1-\beta^2} \left\{ 0, 2 \chi_\sigma^+(k_3) \vec{\sigma} \chi_\sigma^-(k_4) \right\}$$

$$J_{+, -}^\alpha = -E \left\{ (1+\beta) \chi_+^+(k_3) \sigma_+^\alpha \chi_+^-(k_4) - (1-\beta) \chi_+^+(k_3) \sigma_-^\alpha \chi_+^-(k_4) \right\}$$

$$J_{-, +}^\alpha = E \left\{ (1-\beta) \chi_-^+(k_3) \sigma_+^\alpha \chi_-^-(k_4) - (1+\beta) \chi_-^+(k_3) \sigma_-^\alpha \chi_-^-(k_4) \right\}$$

∴ $\vec{K}_3 : (\theta, \phi) = (\theta, 0)$; $\vec{K}_4 : (\theta, \phi) = (\pi - \theta, \pi)$ とすると, (142), (145) より

$$(239) \quad \begin{aligned} \chi_+(\vec{K}_3) &= \begin{pmatrix} \cos \frac{\theta}{2} \\ \sin \frac{\theta}{2} \end{pmatrix} & \chi_+(\vec{K}_4) &= \begin{pmatrix} \sin \frac{\theta}{2} \\ -\cos \frac{\theta}{2} \end{pmatrix} \\ \chi_-(\vec{K}_3) &= \begin{pmatrix} -\sin \frac{\theta}{2} \\ \cos \frac{\theta}{2} \end{pmatrix} & \chi_-(\vec{K}_4) &= \begin{pmatrix} +\cos \frac{\theta}{2} \\ \sin \frac{\theta}{2} \end{pmatrix} \end{aligned}$$

∴ (238) に代入すると.

$$\begin{aligned} (240) \quad J_{+,+}^\alpha &= E \sqrt{1-\beta^2} \left\{ 0, 2\chi_+^\dagger(\vec{K}_3) \vec{\sigma} \chi_-(\vec{K}_4) \right\} \\ &= E \cdot \frac{m}{E} \cdot 2 \left\{ 0, (\cos \frac{\theta}{2}, \sin \frac{\theta}{2}) \vec{\sigma} \begin{pmatrix} +\cos \frac{\theta}{2} \\ \sin \frac{\theta}{2} \end{pmatrix} \right\} \\ &= 2m [0, \sin \theta, 0, \cos \theta] \end{aligned}$$

$$\begin{aligned} J_{-,-}^\alpha &= -2m [0, \chi_-^\dagger(\vec{K}_3) \vec{\sigma} \chi_+(\vec{K}_4)] \\ &= -2m [0, (-\sin \frac{\theta}{2}, \cos \frac{\theta}{2}) \vec{\sigma} \begin{pmatrix} \sin \frac{\theta}{2} \\ -\cos \frac{\theta}{2} \end{pmatrix}] \\ &= +2m [0, -\sin \theta, 0, -\cos \theta] \end{aligned}$$

$$\begin{aligned} J_{+,-}^\alpha &= -E \left\{ (1+\beta) (\cos \frac{\theta}{2}, \sin \frac{\theta}{2}) \vec{\sigma}_+^\dagger \begin{pmatrix} \sin \frac{\theta}{2} \\ -\cos \frac{\theta}{2} \end{pmatrix} - (1-\beta) (\cos \frac{\theta}{2}, \sin \frac{\theta}{2}) \vec{\sigma}_-^\dagger \begin{pmatrix} \sin \frac{\theta}{2} \\ -\cos \frac{\theta}{2} \end{pmatrix} \right\} \\ &= -E(1+\beta) [0, -\cos \theta, i, \sin \theta] + E(1-\beta) [0, \cos \theta, -i, -\sin \theta] \\ &= 2E [0, \cos \theta, -i, -\sin \theta] \end{aligned}$$

$$\begin{aligned} J_{-,+}^\alpha &= E \left\{ (1-\beta) (-\sin \frac{\theta}{2}, \cos \frac{\theta}{2}) \vec{\sigma}_+^\dagger \begin{pmatrix} \cos \frac{\theta}{2} \\ \sin \frac{\theta}{2} \end{pmatrix} - (1+\beta) (-\sin \frac{\theta}{2}, \cos \frac{\theta}{2}) \vec{\sigma}_-^\dagger \begin{pmatrix} \cos \frac{\theta}{2} \\ \sin \frac{\theta}{2} \end{pmatrix} \right\} \\ &= E(1-\beta) [0, \cos \theta, i, -\sin \theta] - E(1+\beta) [0, -\cos \theta, -i, \sin \theta] \\ &= E(1-\beta) [0, \cos \theta, i, -\sin \theta] + E(1+\beta) [0, \cos \theta, i, -\sin \theta] \\ &= 2E [0, \cos \theta, i, -\sin \theta] \end{aligned}$$

(23c) × (24c) も (23d) は代入すると全 29 helicity 振幅が得られる。

$$(241) M_{\lambda, -\lambda}^{\sigma, \sigma} = \frac{e^2 Q_e Q_\mu}{s} g_{\alpha\beta} 2m [0, \sigma \sin\theta, 0, \sigma \cos\theta] \cdot [0, 1, \lambda i, 0] (-\sqrt{s})$$

$$= \frac{e^2 Q_e Q_\mu}{s} (-2m\sqrt{s}) [0 - \sigma \sin\theta - 0 - 0]$$

$$= e^2 Q_e Q_\mu \frac{2m}{\sqrt{s}} \sin\theta \cdot \sigma$$

$$M_{\lambda, -\lambda}^{\sigma, -\sigma} = \frac{e^2 Q_e Q_\mu}{s} g_{\alpha\beta} \sqrt{s} [0, \cos\theta, -\sigma i, -\sin\theta] \cdot [0, 1, \lambda i, 0] (\sqrt{s})$$

$$= \frac{e^2 Q_e Q_\mu}{s} (-s) [0 - \cos\theta - \sigma\lambda - 0]$$

$$= e^2 Q_e Q_\mu (\cos\theta + \sigma\lambda)$$

断面積は

$$(242) d\sigma_{LR}^{LL} = d\sigma_{LR}^{RR} = d\sigma_{RL}^{LL} = d\sigma_{RL}^{RR} = \frac{1}{2s} \left| e^2 Q_e Q_\mu \frac{2m}{\sqrt{s}} \sin\theta \right|^2 \frac{\beta}{8\pi} \frac{d\cos\theta}{2}$$

$$= \frac{e^4 Q_e^2 Q_\mu^2}{32\pi s} \frac{4m^2}{s} \sin^2\theta \cdot \beta d\cos\theta$$

$$d\sigma_{LR}^{LR} = d\sigma_{RL}^{RL} = \frac{1}{2s} \left| e^2 Q_e Q_\mu (\cos\theta + 1) \right|^2 \frac{\beta}{8\pi} \frac{d\cos\theta}{2}$$

$$= \frac{e^4 Q_e^2 Q_\mu^2}{32\pi s} (1 + \cos\theta)^2 \beta d\cos\theta$$

$$d\sigma_{LR}^{RL} = d\sigma_{RL}^{LR} = \frac{1}{2s} \left| e^2 Q_e Q_\mu (\cos\theta - 1) \right|^2 \frac{\beta}{8\pi} \frac{d\cos\theta}{2}$$

$$= \frac{e^4 Q_e^2 Q_\mu^2}{32\pi s} (1 - \cos\theta)^2 \beta d\cos\theta$$

e^+e^- ディレクタリティ平均、 $\mu^+\mu^-$ ディレクタリティ足し算。

$$(243) \frac{d\Gamma}{d\cos\theta} = \frac{(4\pi d)^2 Q_e^2 Q_\mu^2}{32\pi s} \frac{1}{2} \cdot \frac{1}{2} \left\{ (1-\beta^2) \sin^2\theta \times 4 + (1+\cos\theta)^2 \times 2 + (1-\cos\theta)^2 \times 2 \right\} \beta$$

$$= \frac{\pi d^2 Q_e^2 Q_\mu^2}{2s} \left\{ \left(1 + \frac{4m^2}{s}\right) + \left(1 - \frac{4m^2}{s}\right) \cos^2\theta \right\} \beta \quad ; Q_e = Q_\mu = \sqrt{-1}$$

LHC で の quark, gluon 散乱との比較のために計算しておいた方が良い。

と思われる QED の $2 \rightarrow 2$ 過程は、次の通りです。

$$(244a) \quad e^+e^- \rightarrow \mu^+\mu^- \quad (m_\mu \neq 0) \quad \Leftrightarrow \bar{q}q \rightarrow Q\bar{Q}$$

$$(244b) \quad \gamma\gamma \rightarrow \mu^+\mu^- \quad (m_\mu \neq 0) \quad \Leftrightarrow g\bar{g} \rightarrow Q\bar{Q}$$

$$(244c) \quad e^-e^- \rightarrow e^-e^- \quad (m_e = 0) \quad \Leftrightarrow \bar{q}q \rightarrow \bar{q}q$$

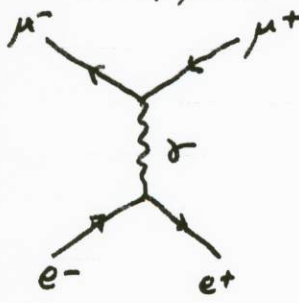
$$(244d) \quad e^-\gamma \rightarrow e^-\gamma \quad (m_e = 0) \quad \Leftrightarrow \bar{q}q \rightarrow \bar{q}q$$

$$(244e) \quad \text{none} \quad \Leftrightarrow \bar{q}q \rightarrow \bar{q}q$$

一応、(244a) - (244e) の全ての過程はここでハンドル・振幅を扱うよと
思ってますか。今日は時間切れでしたので、次回(2.3). QCD の紹介をさせて
下さい。

(244a) の $e^+e^- \rightarrow \mu^+\mu^-$ の振幅は (241) 式' にまとめてありますから、覚えろべき
キーポイントは次の点です。

(245) $e^+e^- \rightarrow \mu^+\mu^-$ 等 s-channel 0 vector boson 交換過程 $\tau_1 \tau_2$



$m=0$ 極限で、 $\sigma_{e^-} = -\sigma_{e^+}$, $\sigma_{\mu^-} = -\sigma_{\mu^+}$ が成り、

重心系で e^- と μ^- の角度を θ としたときに

$$\sigma_{e^-} = \sigma_{\mu^-} \text{ のとき } |M| \sim 1 + \cos\theta$$

$$\sigma_{e^-} = -\sigma_{\mu^-} \text{ のとき } |M| \sim 1 - \cos\theta$$

QCD

残った時間で、簡単に QCD の紹介をします。Lagrangian 密度は

$$(244) \quad \mathcal{L}_{\text{QCD}} = \bar{\psi}_i (i \not{D}_{ij} - m \delta_{ij}) \psi_j - \frac{1}{4} F_{\mu\nu}^a F^{a\mu\nu} + \text{gauge fix terms}$$

と表わすことができます (quark 1ヶたけを書きました)、QED の (209) 式と

見かけはそっくりです。 $\varepsilon = \varepsilon^{abc}$

$$(245) \quad \left\{ \begin{array}{l} i = 1, 2, 3 \quad (\text{red, blue, green}) \text{ は } SU(3) \text{ の基本表現の自由度} \\ a = 1, 2, 3, \dots, 8 \quad \text{は } SU(3) \text{ の adjoint 表現の自由度} \end{array} \right.$$

さて、quark field $\psi_j(x)$ は、 $SU(3)$ 空間の 3 次元矢量アクトリとみなせます。

$$(246) \quad \psi_j(x) = \begin{pmatrix} \psi_1(x) \\ \psi_2(x) \\ \psi_3(x) \end{pmatrix}$$

$SU(3)$ の "e-イ" 変換は

$$(247) \quad \psi_j(x) \rightarrow \psi'_j(x) = [e^{i g T^a \theta^a(x)}]_{jk} \psi_k(x) \equiv U(x)_{jk} \psi_k(x)$$

の様に、 3×3 Unitary $\stackrel{(1)}{\circ}$ determinant が 1 の行列 $U(x)_{jk}$ で表されます。

$$(248) \quad \left\{ \begin{array}{l} U(x)^+ U(x) = 1 \quad \cdots \text{unitary } t_i \text{ } 3 \times 3 \text{ 行列} \\ \det U(x) = 1 \quad \cdots \text{special (?) と 曰く}, SU(3) \text{ を書きました.} \end{array} \right.$$

$SU(3)$ 群の要素 $U(x)$ は、Hermitian で traceless, t_i の generator で生成されます。

$$(249) \quad \left\{ \begin{array}{l} (T^a)^+ = T^a \quad \Leftrightarrow U^+ U = e^{-ig(T^a)^+\theta^a(x)} e^{ig T^a \theta^a(x)} = 1 \\ \text{tr}(T^a) = 0 \quad \Leftrightarrow \det U = e^{ig \text{tr}(T^a) \theta^a(x)} = e^0 = 1 \end{array} \right.$$

(249) を満たす complex の 3×3 行列には $3 \times 3 \times 2 - 3 \times 3 - 1 = 8$ 通りあり、次の様に選ぶことをします。

$$(250) \quad T^1 = \frac{1}{2} \begin{pmatrix} 0 & 1 & 0 \\ 1 & 0 & 0 \\ 0 & 0 & 0 \end{pmatrix}, \quad T^2 = \frac{1}{2} \begin{pmatrix} 0 & -i & 0 \\ i & 0 & 0 \\ 0 & 0 & 0 \end{pmatrix}, \quad T^3 = \frac{1}{2} \begin{pmatrix} 1 & 0 & 0 \\ 0 & -1 & 0 \\ 0 & 0 & 0 \end{pmatrix},$$

$$T^4 = \frac{1}{2} \begin{pmatrix} 0 & 0 & 0 \\ 0 & 0 & 1 \\ 0 & 1 & 0 \end{pmatrix}, \quad T^5 = \frac{1}{2} \begin{pmatrix} 0 & 0 & 0 \\ 0 & 0 & -i \\ 0 & i & 0 \end{pmatrix},$$

$$T^6 = \frac{1}{2} \begin{pmatrix} 0 & 0 & 1 \\ 0 & 0 & 0 \\ 1 & 0 & 0 \end{pmatrix}, \quad T^7 = \frac{1}{2} \begin{pmatrix} 0 & 0 & i \\ 0 & 0 & 0 \\ -i & 0 & 0 \end{pmatrix}, \quad T^8 = \frac{1}{2\sqrt{3}} \begin{pmatrix} 1 & 0 & 0 \\ 0 & 1 & 0 \\ 0 & 0 & -2 \end{pmatrix}.$$

ここで、 T^1, T^2, T^3 の 2×2 成分は $SU(2)$ の generator $\frac{\sigma^1}{2}, \frac{\sigma^2}{2}, \frac{\sigma^3}{2}$ です。

T^4, T^5 は $(j, k) = (2, 3)$ 成分が $\frac{\sigma^1}{2}, \frac{\sigma^2}{2}$ 、 $T^6 \sim T^7$ は $(j, k) = (3, 1)$ 成分、

T^8 は残りの diagonal な traceless matrix です。規格化は

$$(251) \quad \text{tr}(T^a T^b) = T_F \delta^{ab} \quad ; \quad T_F = \frac{1}{2}$$

です。diagonal な generator の数（中性カレントの数）をランクとし、 $SU(3)$ は

$T^3 \sim T^8$ たる 6 つ diagonal な T です。rank = 2 です。変換 $U(x)$ が層を作ります。

$$(252) \quad U_1(x) \cdot U_2(x) = U_3(x) \quad \text{が矢張り } SU(3) \text{ 変換である。}$$

これは、generator の交換関係（又は反交換関係）が閉じることと等価です。

$$(253) \quad [T^a, T^b] = i f^{abc} T^c$$

を $SU(3)$ 代数 (algebra) と呼ぶべきです。 $e^A e^B = e^{A+B+\frac{1}{2}[A,B]+\cdots}$ です。

I_{QCD} (244) が デジタル変換 (247) で 不変であるためには、共変微分が

$$(254) D_\mu \rightarrow D'_\mu = U(x) D_\mu U(x)^\dagger$$

と 変換する必要があるます。8 の デジタル場(ゲルオニ)を導入して

$$\begin{aligned} (255) D_\mu &= \partial_\mu + i g T^a A_\mu^a(x) \\ &\rightarrow \partial_\mu + i g T^a A_\mu^a(x)' \\ &= U(x) D_\mu U^\dagger(x) \\ &= U(x) (\partial_\mu + i g T^a A_\mu^a(x)) U^\dagger(x) \\ &= U(x) (\partial_\mu U^\dagger(x)) + \underbrace{U(x) U^\dagger(x)}_{=1} \partial_\mu \\ &\quad + i g A_\mu^a [U(x) [T^a, U^\dagger(x)] + i g A_\mu^a \underbrace{U(x) U^\dagger(x)}_{=1} T^a \\ &= \partial_\mu + i g T^a A_\mu^a + U(x) [(\partial_\mu U^\dagger(x)) + i g A_\mu^a [T^a, U^\dagger(x)]] \end{aligned}$$

∴

$$\begin{aligned} (256) \partial_\mu U^\dagger(x) &= \partial_\mu e^{-ig T^a \theta^a(x)} = \partial_\mu [1 - ig T^a \theta^a(x) + \dots] = -ig T^a \partial_\mu \theta^a(x) + \dots \\ [T^a, U^\dagger(x)] &= [T^a, 1 - ig T^b \theta^b(x) + \dots] = -ig [T^a, T^b] \theta^b(x) + \dots \\ &= g f^{abc} \theta^b(x) T^c + \dots \end{aligned}$$

代入すると

$$\begin{aligned} (257) A_\mu^a(x) \rightarrow A_\mu^a(x)' &= A_\mu^a(x) - \partial_\mu \theta^a(x) + g f^{cba} \theta^b(x) A_\mu^c(x) \\ &= A_\mu^a(x) - \partial_\mu \theta^a(x) - g f^{abc} \theta^b(x) A_\mu^c(x) \end{aligned}$$

ゲルオニの kinetic part は 上の変換で 不変でなければなりません。

共変微分を使ふと、簡単にゲージ不变なグルオンのkinetic partが求まるはず。

$$(258) [D_\mu, D_\nu] \rightarrow [D'_\mu, D'_\nu] = U(x) [D_\mu, D_\nu] U^\dagger(x)$$

つづいて

$$\begin{aligned} (259) \text{tr} \{ [D_\mu, D_\nu] [D^\mu, D^\nu] \} &\rightarrow \text{tr} \{ U(x) [D_\mu, D_\nu] [D^\mu, D^\nu] U^\dagger(x) \} \\ &= \text{tr} \{ [D_\mu, D_\nu] [D^\mu, D^\nu] \} \end{aligned}$$

がゲージ不变、且々 Lorentz 不変であることに注目します。

$$\begin{aligned} (260) [D_\mu, D_\nu] &= [\partial_\mu + igT^b A_\mu^b, \partial_\nu + igT^c A_\nu^c] \\ &= igT^c (\partial_\mu A_\nu^c - \partial_\nu A_\mu^c) - g^2 [T^b, T^c] A_\mu^b A_\nu^c \\ &= igT^a (\partial_\mu A_\nu^a - \partial_\nu A_\mu^a) - ig^2 f^{abc} T^a A_\mu^b A_\nu^c \\ &= igT^a [\partial_\mu A_\nu^a - \partial_\nu A_\mu^a - g f^{abc} A_\mu^b A_\nu^c] \\ &\equiv igT^a F_{\mu\nu}^a \end{aligned}$$

$$\begin{aligned} (261) \text{tr} \{ [D_\mu, D_\nu] [D^\mu, D^\nu] \} &= \text{tr} \{ [igT^a F_{\mu\nu}^a] [igT^b F^{b\mu\nu}] \} \\ &= -g^2 \text{tr} (T^a T^b) F_{\mu\nu}^a F^{b\mu\nu} \\ &= -g^2 \frac{g^{ab}}{2} F_{\mu\nu}^a F^{b\mu\nu} \\ &= -\frac{g^2}{2} F_{\mu\nu}^a F^{a\mu\nu} \end{aligned}$$

従々、この "free part" が正しく規格化された kinetic part です。

$$(262) \mathcal{L}_{\text{gluon}} = \frac{1}{2g^2} \text{tr} \{ [D_\mu, D_\nu] [D^\mu, D^\nu] \} = -\frac{1}{4} F_{\mu\nu}^a F^{a\mu\nu} \quad //$$